

Última actualización de la información: Abril 2025

Configuraciones productos: RT65.S2

RT65.S2: Cuerpo de iluminación L=880 - DALI integrado - Óptica Very Wide Flood (Down) - UGR<19 - 30W 4741.5lm - 2700K - Negro/Blanco/Blanco Transparente



Código producto

RT65.S2: Cuerpo de iluminación L=880 - DALI integrado - Óptica Very Wide Flood (Down) - UGR<19 - 30W 4741.5lm - 2700K - Negro/Blanco/Blanco Transparente

Descripción

Cuerpo de iluminación de extrusión de aluminio pintado, marco y tapones de material termoplástico moldeado por inyección. Óptica Very Wide Flood (80°) en versión Space Opti-Diamond (PMMA) con tapa trasera disponible en versión blanca (blanco transparente) o negra (negro transparente). Alimentador regulable DALI integrado con fuente LED (Mid-Power) monocromática 2700K CRI80 con emisión directa. Versión con luminancia controlada UGR < 19 - conforme con la norma para uso en espacios donde se utilizan videoterminales ($L \leq 3000 \text{ cd/m}^2$).

Instalación

Con raíl de tensión de red

Colores

Negro/Blanco/Blanco Transparente (S2)

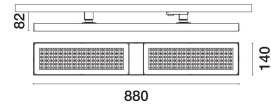
Peso (Kg)

2.73

Montaje

zócalo para esquinas interno|raíl dali|raíl trifásico|empotrable en el techo|en el techo

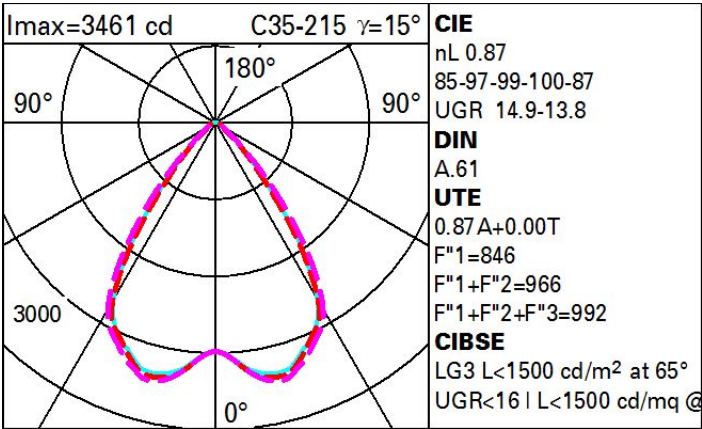
Se conforma con EN60598-1 y regulaciones pertinentes



Datos técnicos

| | | | |
|---|-------|---|--|
| Im de sistema: | 4742 | Código de lámpara: | LED |
| W de sistema: | 27 | Número de lámparas por grupo óptico: | 1 |
| Im de la fuente: | 5450 | Código ZVEI: | LED |
| W de la fuente: | 27 | Número de grupos ópticos: | 1 |
| Eficiencia luminosa (lm/W, valor del sistema): | 175.6 | Factor de potencia: | Ver Hoja de instrucciones |
| Im en modo emergencia: | - | Corriente de entrada: | 10 A / 220 μ s |
| Flujo total de emisión en un ángulo de 90° o superior [Lm]: | 0 | Número máximo de luminarias por interruptor automático: | B10A: 18 Luminarias B16A: 30 Luminarias C10A: 31 Luminarias C16A: 51 Luminarias |
| Light Output Ratio (L.O.R.) [%]: | 87 | % mínimo de dimerización: | 1 |
| CRI (mínimo): | 80 | Protección al sobrevoltaje: | 2kV Modo común y 1kV Modo diferencial |
| Temperatura de color [K]: | 2700 | Control: | DALI-2 |
| MacAdam Step: | 3 | | |

Polar



Coefficientes de uso

| R | 77 | 75 | 73 | 71 | 55 | 53 | 33 | 00 | DRR |
|------|----|----|----|----|----|----|----|----|-----|
| K0.8 | 72 | 67 | 63 | 60 | 66 | 62 | 62 | 58 | 67 |
| 1.0 | 77 | 72 | 68 | 65 | 71 | 67 | 67 | 63 | 73 |
| 1.5 | 82 | 79 | 75 | 73 | 77 | 75 | 74 | 70 | 81 |
| 2.0 | 86 | 83 | 80 | 78 | 82 | 79 | 78 | 75 | 87 |
| 2.5 | 88 | 85 | 84 | 82 | 84 | 82 | 81 | 78 | 90 |
| 3.0 | 89 | 87 | 86 | 84 | 86 | 85 | 83 | 81 | 93 |
| 4.0 | 91 | 89 | 88 | 87 | 88 | 87 | 85 | 83 | 95 |
| 5.0 | 91 | 90 | 89 | 88 | 89 | 88 | 86 | 84 | 96 |

Curva límite de luminancia

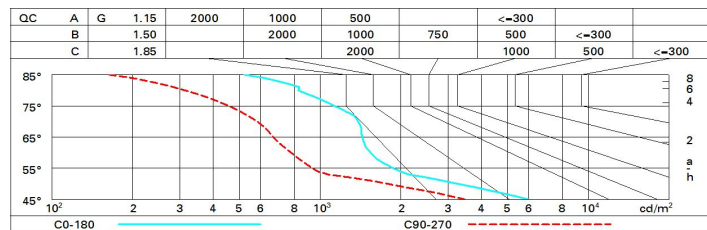


Diagrama UGR

| Corrected UGR values (at 5450 lm bare lamp luminous flux) | | | | | | | | | | | |
|--|------|---------------------|------|------|------|------|-------------------|------|------|------|------|
| Reflect.: ceiling/cav walls work pl. Room dim x y | | viewed crosswise | | | | | viewed endwise | | | | |
| | | 0.70 | 0.70 | 0.50 | 0.50 | 0.30 | 0.70 | 0.70 | 0.50 | 0.50 | 0.30 |
| | | 0.50 | 0.30 | 0.50 | 0.30 | 0.30 | 0.50 | 0.30 | 0.50 | 0.30 | 0.30 |
| | | 0.20 | 0.20 | 0.20 | 0.20 | 0.20 | 0.20 | 0.20 | 0.20 | 0.20 | 0.20 |
| 2H | 2H | 14.7 | 15.5 | 15.0 | 15.7 | 16.0 | 13.8 | 14.6 | 14.1 | 14.8 | 15.1 |
| | 3H | 14.8 | 15.5 | 15.2 | 15.8 | 16.1 | 13.7 | 14.4 | 14.1 | 14.7 | 15.0 |
| | 4H | 14.9 | 15.5 | 15.2 | 15.8 | 16.1 | 13.7 | 14.3 | 14.0 | 14.6 | 14.9 |
| | 6H | 14.9 | 15.5 | 15.3 | 15.8 | 16.1 | 13.6 | 14.2 | 14.0 | 14.5 | 14.9 |
| | 8H | 14.9 | 15.5 | 15.3 | 15.8 | 16.1 | 13.6 | 14.2 | 14.0 | 14.5 | 14.8 |
| | 12H | 14.9 | 15.4 | 15.3 | 15.8 | 16.1 | 13.6 | 14.1 | 13.9 | 14.5 | 14.8 |
| 4H | 2H | 14.6 | 15.2 | 14.9 | 15.5 | 15.8 | 13.9 | 14.5 | 14.2 | 14.8 | 15.1 |
| | 3H | 14.7 | 15.3 | 15.1 | 15.6 | 16.0 | 13.9 | 14.4 | 14.2 | 14.7 | 15.1 |
| | 4H | 14.8 | 15.3 | 15.2 | 15.7 | 16.1 | 13.8 | 14.3 | 14.2 | 14.7 | 15.1 |
| | 6H | 14.9 | 15.3 | 15.3 | 15.7 | 16.1 | 13.8 | 14.2 | 14.2 | 14.6 | 15.0 |
| | 8H | 14.9 | 15.3 | 15.3 | 15.7 | 16.1 | 13.8 | 14.2 | 14.2 | 14.6 | 15.0 |
| | 12H | 14.9 | 15.2 | 15.3 | 15.7 | 16.1 | 13.7 | 14.1 | 14.2 | 14.5 | 15.0 |
| 8H | 4H | 14.7 | 15.1 | 15.2 | 15.5 | 16.0 | 13.8 | 14.2 | 14.3 | 14.6 | 15.1 |
| | 6H | 14.8 | 15.1 | 15.3 | 15.6 | 16.1 | 13.8 | 14.2 | 14.3 | 14.6 | 15.1 |
| | 8H | 14.8 | 15.1 | 15.3 | 15.6 | 16.1 | 13.8 | 14.1 | 14.3 | 14.6 | 15.1 |
| | 12H | 14.8 | 15.1 | 15.3 | 15.6 | 16.1 | 13.8 | 14.0 | 14.3 | 14.5 | 15.0 |
| 12H | 4H | 14.7 | 15.0 | 15.2 | 15.5 | 15.9 | 13.8 | 14.2 | 14.3 | 14.6 | 15.1 |
| | 6H | 14.8 | 15.1 | 15.3 | 15.5 | 16.0 | 13.8 | 14.1 | 14.3 | 14.6 | 15.1 |
| | 8H | 14.8 | 15.0 | 15.3 | 15.5 | 16.1 | 13.8 | 14.1 | 14.3 | 14.5 | 15.1 |
| Variations with the observer position at spacing: | | | | | | | | | | | |
| S = | 1.0H | 2.7 / -3.8 | | | | | 3.0 / -4.4 | | | | |
| | 1.5H | 5.2 / -4.3 | | | | | 5.2 / -4.9 | | | | |
| | 2.0H | 7.1 / -4.9 | | | | | 7.1 / -5.2 | | | | |